

高压下量 在初轧机上的应用

H. B. 李托夫欽柯 著
覃圭章譯

冶金工业出版社

高压下量在初轧机上的应用

H. B. 李托夫欽柯 著

覃圭章 譯

徐君毅 校

冶金工业出版社

本書闡明在初軋機以及鋼坯和型鋼軋鋼機上在軋輥自然咬入金屬的條件下高壓下量的應用問題；研討向軋輥中強制送鋼的問題；指出在應用最大壓下量時軋鋼機自動化的可能性。

本書供冶金工廠的工程技術人員、高等冶金學校的學生閱讀。

Н. В. Литовченко

Применение Высоких Обжатий На Блюмингах
Металлургиадат (Москва—1956)

高压下量在初轧机上的应用

覃圭章 譚 德君校 檢

編輯：叶建林 設計：赵香苓、周广珍 責任校對：李蕙英

1957年11月第一版 1957年11月北京第一次印刷 800册

787×1092·1/32·52.000字·印張 2¹⁸/₃₂·每頁 2· 定價 (10) 0.40 元

冶金工業出版社印刷厂印 新華書店發行 審號 0748

冶金工業出版社出版 (地址：北京市灯市口甲 45 号)

北京市書刊出版業營業許可證出字第 093 号

目 录

I. 緒言	4
II. 应用高压下量可能性的理論狀況	6
1. 極限压下量的理論	7
2. 各种因素对極限咬入条件的影响	10
III. 初軋机压下量的实际数值与軋輶孔型設計	18
1. 初軋机軋輶孔型設計的例題計算	19
2. 鋼坯軋鋼机軋輶孔型設計的例題計算	23
IV. 軋制优质鋼时高压下量的应用	43
1. 兹拉托烏斯托夫斯克鋼鐵工厂初軋机压下規程的分析	44
2. 庫茲涅茨克鋼鐵公司初軋机压下規程的分析	49
V. 变形区內的剩余摩擦力	54
1. 剩余摩擦力的利用	57
2. 应用推挤裝置以利用剩余摩擦力	62
3. 利用剩余摩擦力工作的軋鋼机	65
VI. 高压下量下金属的变形条件	68
1. 从軋制时鋼錠的加工度驗算初軋机軋輶孔型設計	76
2. 按照最大压下量（極限咬入条件）决定初軋机 的軋輶直徑	77
參考文献	83

I. 緒 言

苏联共产党二十次代表大会決議規定了所有国民经济部門，首先是黑色冶金業，均將有巨大的發展。

所提出的任务可以靠強化生产过程或是使新的轧鋼机投入生产来完成。同时应当以本国的轧鋼生产和理論基础的最新成就为出发点。

缺乏能使轧鋼机生产率提高的最大可能的自动化和机械化，轧鋼生产最有利的工艺过程就不能被利用。

个别机械和整个轧鋼机自动化的实现条件，首先决定於最适宜的压下規程。

到現在有人想在最大可能的压下量和轧鋼机的自动化下进行全部过程，但是他們往往未考慮到轧鋼机工作和工艺过程进行的特点。

由於新的轧鋼生产能力大量的被利用起来及其进一步的發展，就必須与最新的理論狀況相适应地解决一切科学問題。

过去的实际經驗証明，个别轧鋼机依靠強化生产过程使生产率进一步增長的可能性，受到輔助设备或轧鋼机的結構特点的限制。

此外，解决轧鋼产品的質量問題曾抛开了轧鋼设备的基本参数，主要是未考慮原鋼坯的尺寸与轧鋼机架的轧辊直徑的比例关系。

对金属的塑性性質考慮的还很不够，由此产生了一些不正确的阻碍生产发展的实际結論。

在现时由於本国的科学与实践在許多問題方面的努力，对黑色冶金，特别是对轧鋼生产的發展途徑已具有十分明晰的概念。

И.М.巴甫洛夫、А.И.采里柯夫、С.И.古布金和 А.П.切克烏列夫以自己的著作对轧制、金属的塑性性质及金属在轧辊中的变形条件这几门学术作出了有价值的贡献。

И. Я. 塔尔諾夫斯基的最近几篇著作，在许多方面发展并补充了早前由 A.Ф. 高洛文所提出的关于在轧制时金属变形的基本论点。

Т.М.高魯別夫和П.А.阿列克山德罗夫的研究作品是很有意义的，他们以实验的方法和从理论上证实了考虑零件高度上变形完全渗透以设计轧钢机的必要性，因这将促进金属质量的提高。

本国科学关于金属的塑性和变形时流动规律应用与实践中的成就，在 В.С. 斯米尔諾夫和 Д.И. 斯达尔欽柯的著作中得到了发展。Б.П. 巴赫契諾夫和 М.М. 施捷爾諾夫的著作在轧制理论和金属塑性理论的实际应用上是最有意义的，在他们的著作中探索出了在各种不同轧制条件下最适宜的金属变形条件。外国的科学家 O. 爱米克和 K. 魏卡斯的著作也值得注意。

因此根据金属在变形区内的应力状态图出发，金属塑性变形与轧制的力学条件的现代科学状况，乃是拟定轧制工艺过程以及设计新的轧钢设备时的开端。

缺乏理论基础知识，不仅不能设计新的轧钢机，而且也不会使用现有的轧钢机。因而轧钢机生产率的进一步增长，必须以现代的金属塑性变形的定理为基础。

本书中包含属于在轧辊自然咬入金属的条件下最大压下量应用的理论基础方面的材料，以及有关 [超压下量] 应用的可能性、轧钢机的自动化、新型轧钢机的设计的原理。

在书内与现代理论相适应地对现行压下图表作出了分析和引述了压下规程的计算方法。

II. 应用高压下量可能性的理論狀況

在軋鋼生产上，基爾赫別格的「極限理論」統治了很長一段时期，按照这个理論，高度变形系数和延伸系数具有極限值。这就是說，軋件的延伸可能是任意的数值，但不大於2倍。基爾赫別格沒有引証任何足以証实所作的結論的正确性的科学論据。他的根据很可能是想避免产生某些表面缺陷（裂縫），这些缺陷与其說和应用高压下量有关，倒不如說和金屬的質量有关。基爾赫別格根本沒有考慮到在軋制时金屬变形的力学条件，所以他的結論是沒有任何根据的。

遺憾的是过去有些实践家和理論家，遵循了这种使軋鋼生产的发展蒙受巨大損失的理論。

俄国的科学家B.E.格魯姆-格尔瑞迈洛首先推翻了全部「極限理論」，他根据實驗指出了基爾赫別格的論据是毫無根据的。他証明每一道次的延伸可能大於2，同时沒有使金屬的質量和咬入条件惡化。这在某种程度上改变了在軋制方面的理論家們的觀点。現在極限理論已被多次指出其毫無根据的苏联学者們和实践家們徹底地摒棄了。

不过在軋制优质鋼和高碳鋼时，甚至在本国的实践中也保持「謹慎的压下量」，特别是在前几个道次。由此也曾作出了不正确的理論上的結論，「謹慎的压下量」規程的选择就以这个結論为基础。

近几年来，在本国的一些最大的工厂中关于軋制优质鋼鋼錠的很多次的實驗及其他許多研究証明，决定絕對压下量的数值的不是金屬的質量及其化学成份，而是軋制的力学条件，其特点是

变形机构圖——主应力圖和主变形圖。

在变形机构圖对轧制时金属塑性变形的影响的研究上, С.И. 古布金和 И.Я. 塔尔諾夫斯基作出了巨大的贡献。Ю.М. 齐日柯夫也研究了高碳钢和合金钢的塑性。

目前对轧制高碳钢和合金钢时应用任意压下量的可能性, 不再發生任何疑义了。

在 1150 初轧机上所应用的压下規程圖表就可用来作为証据 (參看下文)。

1. 極限压下量的理論

在咬入时刻的作用力圖引於圖 1。如果鋼坯被水平力 Q 紧压于旋轉着的軋輶上, 則对一个軋輶來說, 由于軋輶对金属的作用所产生的反力 P 等于

$$P = \frac{Q}{2\sin \alpha}。 \quad (1)$$

按照方程式求出摩擦力

$$T = Pf = \frac{Q}{2\sin \alpha} f_0。 \quad (2)$$

鋼坯的咬入条件决定于水平投影 P_x (反力 P) 和 T_x (摩擦力 T) 的絕對值之比。

这两个投影力的等式即是自然咬入的極限条件

$$P_x = T_x, \quad (3)$$

式中 $P_x = P \sin \alpha = \frac{Q}{2} \sin \alpha,$ (4)

$$T_x = T \cos \alpha = \frac{Q}{2 \tan \alpha} f_0. \quad (5)$$

使方程式 (4) 和 (5) 相等得

$$f = \operatorname{tg} \alpha_0 \quad (6)$$

从方程式(6)可見，为了实现轧輶在最初时可靠地自然咬入軋件，必須使摩擦系数多少要大于咬入角的正切，亦即

$$f > \operatorname{tg} \alpha_0 \quad (7)$$

在自然咬入的極限条件下，最大压下量与摩擦系数和轧輶工作直徑的关系可以按照B.E.格魯姆-格尔瑞迈洛所提出的方程式来决定，此公式是以著名的咬入角、轧輶直徑和压下量的关系式作为依据的(圖2)：

$$\Delta h = D (1 - \cos \alpha) \quad (8)$$

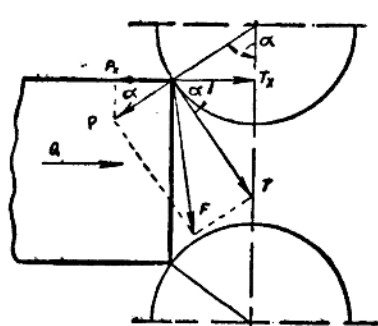


圖 1 在咬入时刻力的作用圖
(轧輶对軋件的作用)

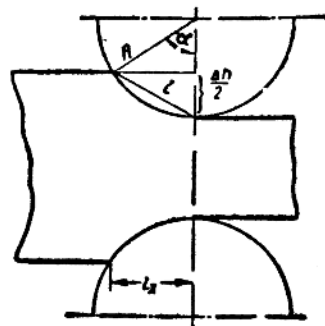


圖 2 变形区諸要素

在最大值时方程式具有如下的形式

$$\Delta h_{\max} = D (1 - \cos \alpha_{\max}) \quad (9)$$

代入

$$\cos \alpha_{\max} = \frac{\cos \alpha_{\text{entry}}}{\sqrt{\sin^2 \alpha_{\text{entry}} + \cos^2 \alpha_{\max}}} = \frac{1}{\sqrt{1 + \operatorname{tg}^2 \alpha_{\text{entry}}}}, \quad (10)$$

得 $\Delta h_{\max} = D \left(1 - \frac{1}{\sqrt{1 + \operatorname{tg}^2 \alpha_{\text{take}}}} \right)。 \quad (11)$

但是按照方程式 (6)，代入方程式 (11) 后具有最終形式

$$\Delta h_{\max} = D \left(1 - \frac{1}{\sqrt{1 + t^2}} \right), \quad (12)$$

式中 D ——軋輥工作直徑。

按照愛克倫德方程式決定的摩擦系數，對於鋼軋輥為

$$f_{\text{st}} = 1.03 - 0.0005t, \quad (13)$$

對於鑄鐵軋輥為

$$f_{\text{st}} = 0.3 (1.03 - 0.0005t), \quad (14)$$

式中 t ——軋件的溫度，°C。

如果使方程式 (12) 中括弧內的項目等於系數 A ，則

$$\Delta h_{\max} = AD. \quad (15)$$

系數 A 的數值決定於外摩擦系數的數值，按照公式 (13) 和 (14) 在熱軋時的外摩擦系數僅與軋件的溫度有關。

按照公式 (15) 實際計算最大壓下量所必需的系數 A 的數值列於表 10。

① 系數 A 也可以按照諾薩爾提出的公式決定：

對於鋼軋輥為

$$A = 0.3 - 0.0175 \frac{t}{100};$$

對於鑄鐵軋輥為

$$A = (0.68 - 0.70) \left(0.3 - 0.0175 \frac{t}{100} \right),$$

式中 t ——軋件的溫度，°C。

按照這些公式計算時，誤差不超±2%。

表 1

温度, °C	800	850	900	950	1000	1050	1100	1150	1200	1250
系数 A	0.162	0.152	0.142	0.132	0.123	0.114	0.106	0.098	0.090	0.08

2. 各种因素对极限咬入条件的影响

咬入条件决定於方程式(5)的曳入力的数值

$$T_x = \frac{Q}{2 \operatorname{tg} \alpha} f_0$$

對於兩個軋輥

$$2T_x = \frac{Qf}{\operatorname{tg} \alpha}$$

方程式(7)乃是这个方程式的結果，亦即軋輥可靠咬入件的一个不可缺少的条件

$$f > \operatorname{tg} \alpha$$

分析这些方程式可以作出結論。

1. 在咬入时刻的摩擦系数与鋼坯对軋輥的压力愈大，曳力就愈大，因而咬入条件也愈可靠。

2. 在咬入时刻随着摩擦系数与鋼坯对軋輥的压力增加，軋件在每一道次的最大压下量也随之增加。

3. 压下量愈大，开始的曳入力就愈小；極限咬入条件以方程式(6)表明。

4. 当 $\Delta h = \text{常数}$ 时，随着軋輥直徑的增大，咬入条件也改善。如果压下量与速度的增加成正比例的变化，並且是按照 D 来选取的，則咬入条件並不能得到改善；或是保持不变，或是甚至

坏。

上述情况应当加以补充解释，因为实际上每一种因素对咬入的影响比在公式(5)中所表示的形式更为复杂。

摩擦系数的影响

在所有供计算压下规程的公式中，摩擦系数对咬入条件的影响仅决定于轧辊的材料。这在爱克伦德公式(13)和(14)中得到了反映。

然而在已有的任何公式中，没有一个考虑表面氧化铁皮对咬入条件的影响的。如所週知，如果在头一道前将钢坯按其纵轴翻 90° ，则按氧化铁皮已脱落的一面咬入，就有更可靠的保证，似乎与计算相符合，其实存在有氧化铁皮时就不能咬入。

經驗証明，当在钢坯上存有在加热爐或均热爐中加热时所呈的氧化铁皮时，在極限咬入条件下的絕對压下量的数值一定要少5—10%。此时保證了轧辊在可靠的自然咬入钢坯的条件下有最大压下量。

因此在公式(12)和(13)中应加入一个0.95—0.90的修正系数，以保证所计算的压下规程具有可靠的咬入。这个情况主要是对轧钢机头两个道次或前两个机架的轧制而說的。对于以后道次或机架，对氧化铁皮影响的修正系数就不应加入，且在计划建議采用公式(12)和(15)。

至于說到在極限咬入条件下初轧机压下规程的計算，则上述点在此时也是正确的，然而这些論点几乎完全考虑的是在修时讓道次数接近較大的奇数，亦即得到的不是最大的压下量 h_{max} ，而是某一平均的压下量 h_{cp} 。

因此在往后計算初轧机的压下規程中，我們將要应用沒有修

正系数的公式中的一个公式（12或15）。

实际經驗証明，在鋼坯上有氧化鐵皮及在軋鋼機頭一個機架前沒有翻鋼機或鐵皮清除機與水壓清除鐵皮機時，在第一和第二機架中不可能具有穩定的咬入規程，因為咬入條件變得很壞了。因此在設計新的軋鋼機時，在第一個機架前應當規定安裝翻鋼機或水壓清除鐵皮機，以保證可靠地清除鋼坯表面的氧化鐵皮。或者在萬不得已時，在鋼坯送入軋鋼機的第一機架前將鋼坯進行翻轉。

鋼坯進軋輥的送入力

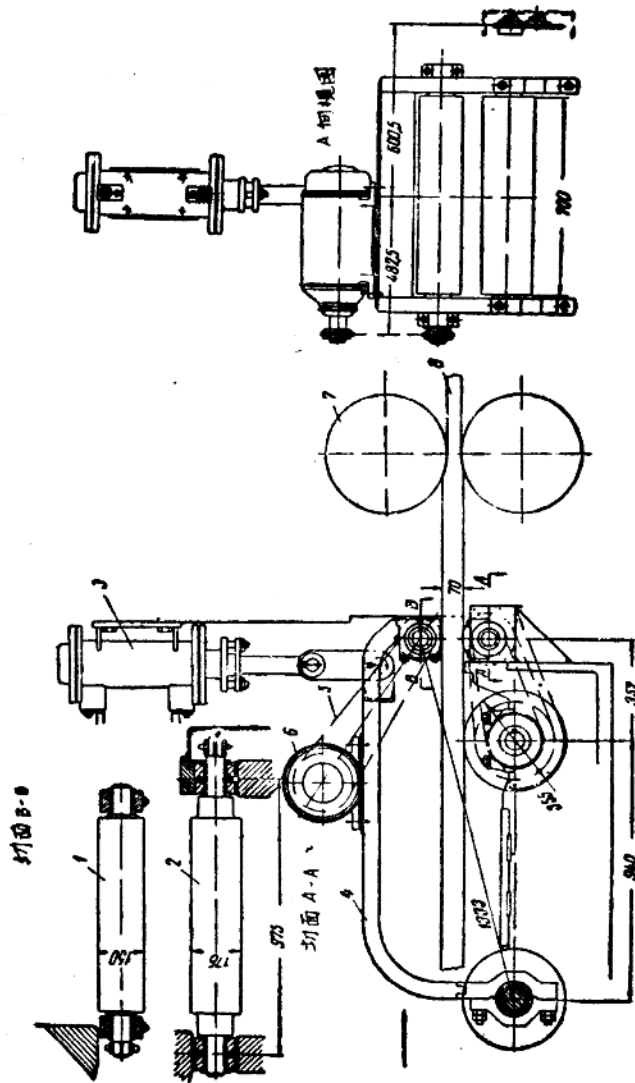
鋼坯進軋輥的送入力或推入力 Q 在咬入初期起着重大的作用：第一，軋輥的曳入力 T_x 和送入力的值成比例地增加，第二，鋼坯的稜邊被壓掉，而這就引起軋輥的反力與摩擦力這兩個作用力的位置重新分配。由此給摩擦曳入力 T_x 及絕對壓下量數值的增加創造了有利的條件。

近來在人為地增加鋼坯在咬入時刻對軋輥的推入力的問題上，又增添了很大的意義。

曾經提出過各種不同的用以將鋼坯送入軋鋼機的機構和裝置。其中有一種引於圖3。在這種裝置中，在軋鋼機架前的一個擺動花架上安裝有一個壓力輶。壓力輶對鋼坯的壓力來自氣壓缸或水壓缸。壓力輶借一裝置在可動花架上的電動機的鏈帶傳動進行旋轉。

但是這些裝置以及闡述改善咬入條件的理論著作，都具有嚴重的缺點：它們沒有與具體的軋鋼機的軋制工藝過程聯繫起來，也沒有反映出極限壓下量和「超壓下量」與生產操作自動化之間的相互關係。

圖 3 鋼坯強制送入機架的裝置
 1—上壓辊；2—下壓辊；3—氣缸；4—花架；5—鏈帶；6—電動機；7—鋼坯毛軋；8—鋼坯



使用極限压下量与「超压下量」的轧钢机的自动化是困难的，因为咬入稍一不稳定，即將不符合于所規定的节奏和以自动化为基础的出發原則。

因此为了提高轧钢机自动化的效果，必須在提高軋件的压下量的条件下保証咬入的可靠性。

轧輶的圓周速度对咬入条件的影响

对这一具有重大意义的問題，研究得还很不够。为了提高現有轧钢机的生产率而增加轧輶的速度，常常导致咬入不良或金属根本不被轧輶咬入，除非另外采取其他的措施。

轧輶的圓周速度和咬入速度都影响摩擦系数：随着轧輶圓周速度的增加，摩擦系数的降低，咬入条件变坏，反之亦然。

然而关于速度与摩擦系数之間的关系，仅仅只有兩篇著作提到过。第一篇著作——泰费尔和施涅尔——的結果用圖解表示在圖4中。

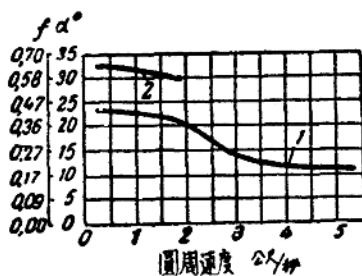


图 4 摩擦系数与轧輶圓周速度的关系

1—平面轧輶；2—带刻痕的轧輶
(泰费尔和施涅尔)

B. A. 嘉古諾夫得到的数据比較确实。他在初轧机上研究鋼錠咬入条件时發現，在圓周速度約为 1.5—2

公尺/秒时表示压下量与速度(在圖 5 中一轧輶的轉數)关系的曲線出現转折点(圖 5)。此圖解是在轧制寬 650 公厘的钢板的条件下繪制的。

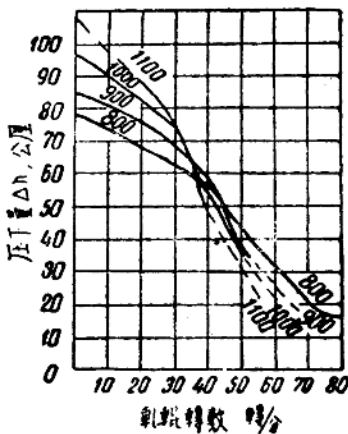


圖 5 压下量与咬入速度及
轧辊工作直径的关系。
曲線旁的数字表示轧辊直徑
(B.A. 嘉古諾夫)

允許咬入角与轧辊速度的关系列于表 2。

表 2

孔型种类	当圆周速度, 公尺/秒时的咬入角 α , 度							
	0	0.5	1.0	1.5	2.0	2.5	3.0	3.5
平面辊身	25.5	24.5	23.5	22.5	19.5	16	—	—
限制孔型	29	27.5	26	24.5	21	17	12	—
带剥痕的孔型	33	32	31	30	28	26	24	21

根据实验数据 B.A. 嘉古諾夫推荐了几个用来决定最大咬入角度数与轧辊速度关系的公式：

当 $v \leq .6$ 公尺/秒时
 $\alpha = 25.5 - 2v$; (16)

当 $v = 1.6 \sim 3.0$ 公尺/秒时
 $\alpha = 16 + 7(2.5 - v)$; (17)

当

$v > 3$ 公尺/秒时

$$\alpha = 12 = \text{常数}.$$

B. A. 嘉古諾夫也研究了軋件寬度对咬入条件的影响。他用下式表示压下量与軋件（鋼錠，板坯，鋼坯）寬度和軋制速度的关系：

$$\Delta h_s = h' - \left(\frac{B}{50} - 13 \right), \quad (13)$$

式中 Δh_s —— 在一定的寬度条件下鋼錠或板坯的压下量，公厘；

$\Delta h'$ —— 由圖解中查得的压下量（參看圖 5），公厘；

B —— 鋼錠（初軋坯，板坯）的寬度，公厘。

这样，按照引于圖 5 中的圖解和公式 (13) 可以决定出实现可靠咬入的最大允許軋制速度。

速度对咬入条件的影响可以用下面的例子来加以說明。为了力求利用軋鋼机设备的全部能力，曾經把某一300軋鋼机，特別是第一机架的孔型設計根据極限咬入条件作成。結果，鋼坯的咬入条件显得不稳定，間隙时间往往与純軋时间相等，而在大多数情况下还远远超过了純軋时间，这就大大地降低了軋鋼机的生产率。

为了要想在鋼坯端緣压陷的时刻改善咬入条件和減少間隙时间，將齒輶和軋輶的直徑从 350 公厘增至 400 公厘。有人推測，減小咬入角就能改善咬入条件。但事实並不这样，因为此处还滲有其他因素——速度，即使減小咬入角也是枉然。

由於軋輶直徑的減小，圓周速度变为（当 $n = 57$ 轉/分）：

$$v_{\text{trap}} = \frac{\pi D_1 n}{60} = \frac{3.14 \times 350 \times 57}{60} = 1.045 \text{ 公尺/秒};$$

$$v_{\text{new}} = \frac{\pi D_2 n}{60} = \frac{3.14 \times 400 \times 57}{60} = 1.194 \text{ 公尺/秒}.$$